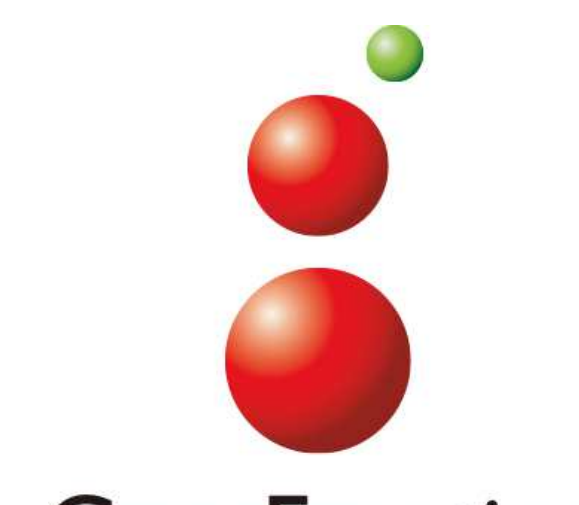


再構成型無細胞タンパク質合成系におけるN末端コドン最適化による翻訳効率向上

Improvement of translational efficiency by N-terminal codon optimization in the reconstituted cell-free protein synthesis system

松本令奈、村上智史、○金森崇 (ジーンフロンティア株式会社)



<Abstract>

大腸菌で組換えタンパク質を発現させる際に使用するコドンは、同義コドンの中から高使用頻度のコドンを選択することが一般的である。一方、大腸菌ゲノム由来のタンパク質で発現量が多いものは、N末端領域（開始～数アミノ酸の範囲）にATリッチコドンが優先的に使用されているという複数の報告がある^{a-c}。しかし、これらの報告は、in vivoのデータを基に行われたものが多く、分解、代謝などの翻訳反応以外の反応が最終的なタンパク質発現量に影響を与える可能性がある。そこで、本研究では、翻訳以外の反応の影響を排除するため、大腸菌由来の再構成型無細胞タンパク質合成系（PURE system）を使用してN末端領域のコドンが翻訳効率に与える影響を検証した。

はじめに、抗体断片（Fab）の重鎖タンパク質について、開始メチオニンのすぐ下流の2~6アミノ酸のコドンを同義置換した56種の翻型DNAを作製し、PURE system（PUREflex 2.0）を用いてタンパク質合成を行った。合成量は、使用した翻型DNAにより大きく異なり（最大と最小では2桁の差）、翻型DNAのN末端領域のAT含量に非常によく相関していた。また、最大の合成量が得られたATリッチコドンの翻型DNAから合成した場合に比べて、高使用頻度コドンからなる翻型DNAから合成した場合には、合成量が20%以下に減少した。さらに、合成量が低いヒトPD-L1などの他のタンパク質についても同様の実験を行なった結果、いずれのタンパク質においても、ATリッチコドンを使用した翻型DNAから合成した場合に、合成量が最大になることを確認した。

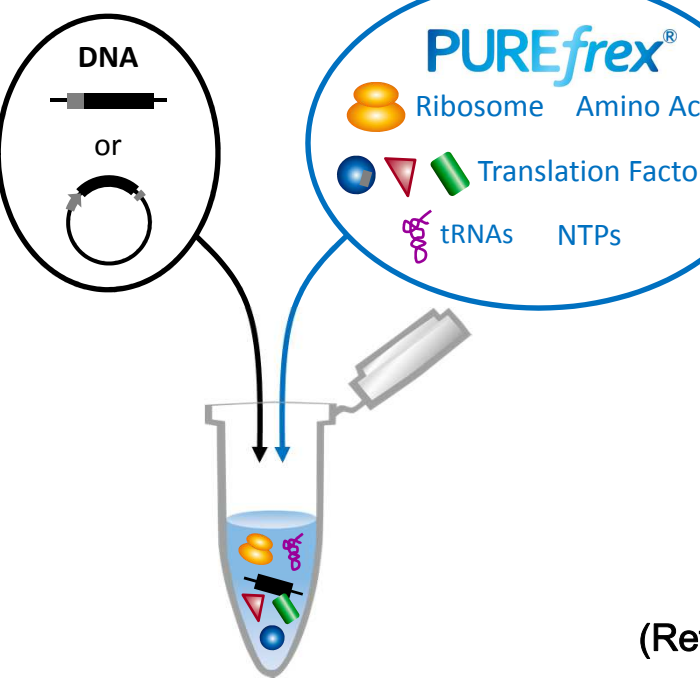
これらの結果は、N末端領域のATリッチコドンが翻訳反応自体の効率を増大させることを示唆している。すなわち、無細胞タンパク質合成系においても、大腸菌発現系と同様にN末端領域のコドンをATリッチコドンに置換した翻型DNAの使用により、合成量が低いタンパク質の合成量の増大が期待できる。

a) Allert *et al.* (2010) *J. Mol. Biol.*, vol. 402, p. 905.

b) Bentle *et al.* (2013) *Mol. Biol. Sys.*, vol. 9, p. 675.

c) Boel *et al.* (2016) *Nature*, vol. 529, p. 358.

1. PUREflex®; based on the PURE system technology



Advantage

- Low level of contamination
- Easy adjustment of the reagent composition
- PCR products usable as a template DNA

Application

- High throughput preparation of proteins (including Fab, scFv, protein toxin etc.)
- Protein science research (in vitro display, mRNA display etc.)

(Ref: Shimizu *et al.* (2001) *Nat. Biotechnol.*, vol. 19, p. 751.)

PUREflex®1.0 PUREflex®2.0

a regular kit for the synthesis of proteins without disulfide bonds

DS supplement

a supplement for the synthesis of proteins containing disulfide bonds

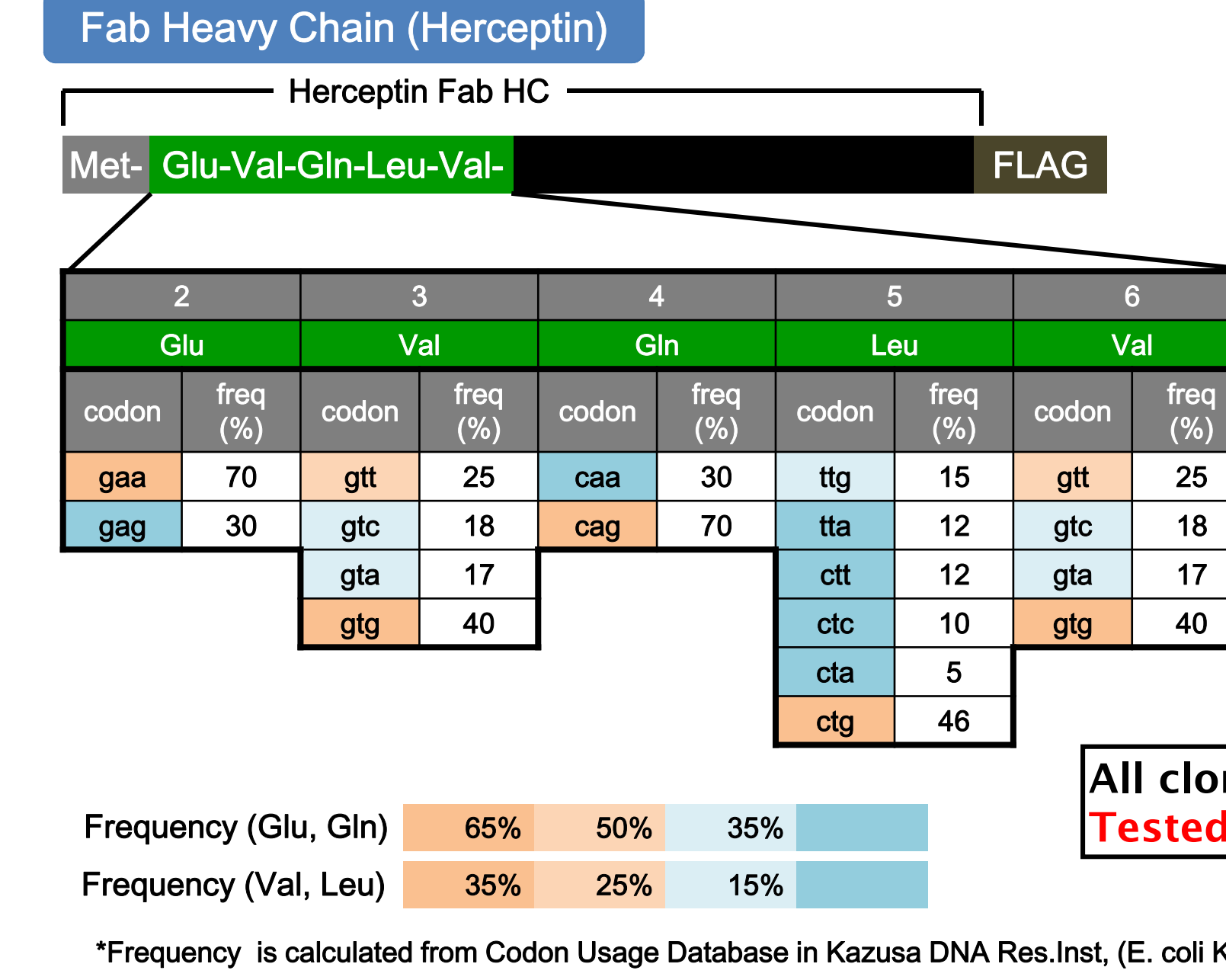
DnaK Mix GroE Mix

a supplement for the synthesis of aggregate-prone proteins

2. Experiments

Protein	Reaction mix	Template DNA	Incubation
1. Fab Heavy chain (Herceptin)	PUREflex® 2.0 +DS supplement +DnaK Mix	PCR product	30°C, 4 h
2. PD1 (Programmed Cell Death Protein 1)			
3. PDL1 (Programmed Cell Death Protein 1 Ligand 1)	PUREflex® 2.0 +DS supplement	PCR product	37°C, 4 h
4. GM-CSF (Granulocyte-macrophage colony-stimulating factor)			
5. Citrate Synthase (Yeast Cit1p)			
6. PTGDS (Prostaglandin-H2 D-isomerase)	PUREflex® 2.0	PCR product	37°C, 4 h
7. His-tagged- α -Synuclein			
Protein Synthesis			
↓ SDS-PAGE (0.5~1 μ L of reaction mixture/lane)			
↓ Gel stain with Oriole (Bio-Rad) or CBB			

3. Result 1:N-terminal codon and protein synthesis

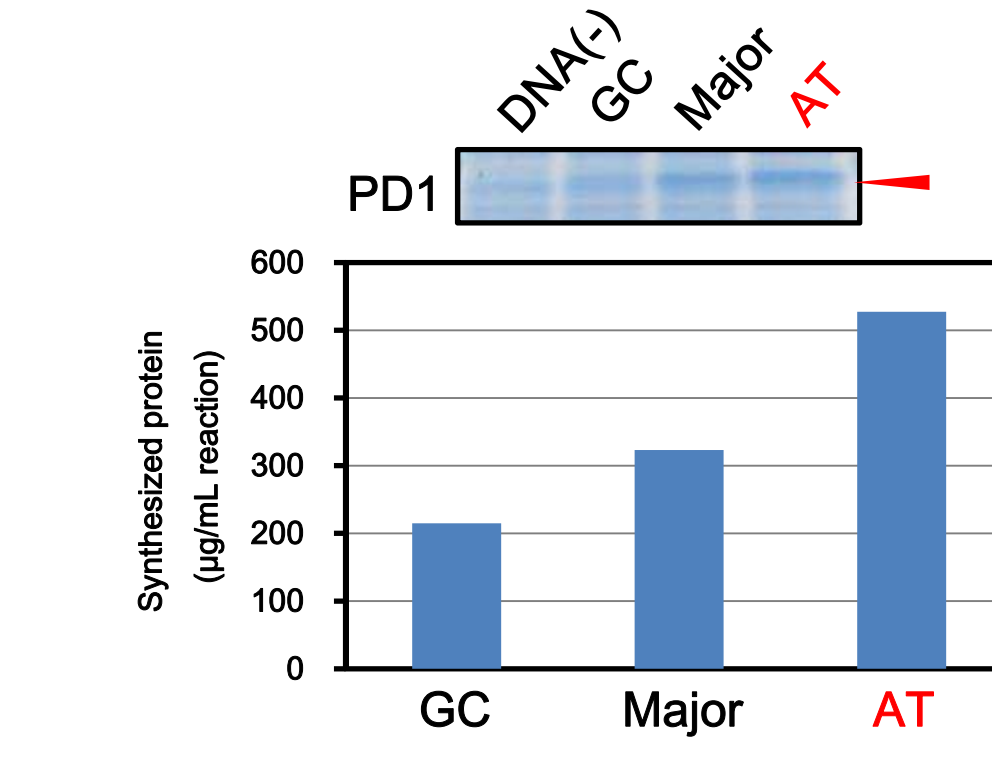


*Frequency is calculated from Codon Usage Database in Kazusa DNA Res.Inst. (E. coli K-12 strain)

4. Result 2: N-terminal codon optimization of various proteins

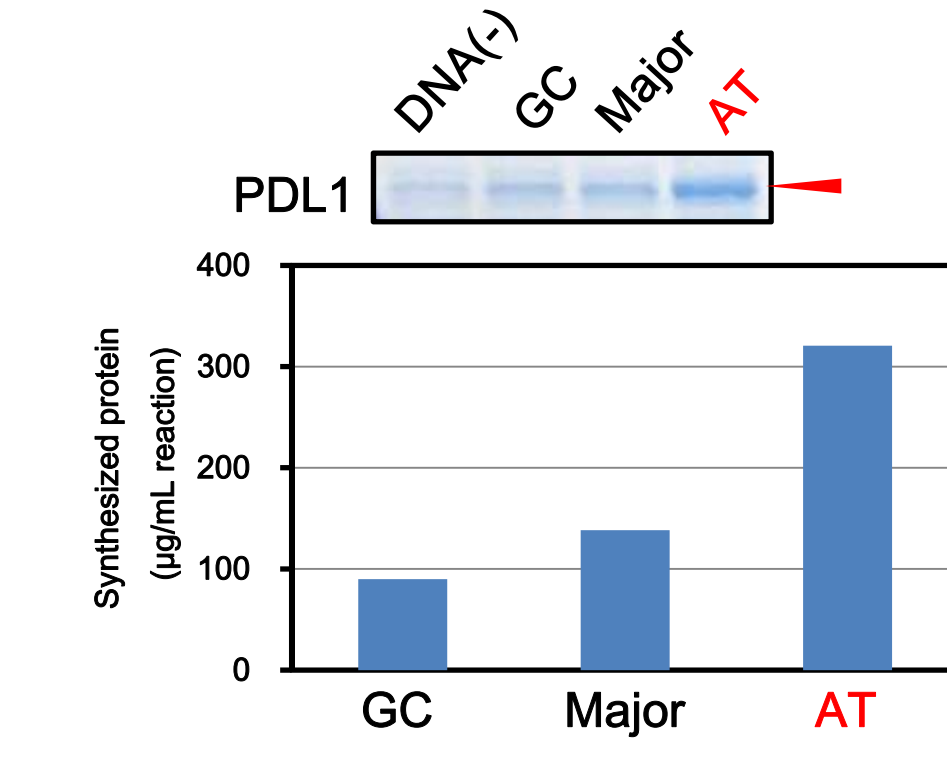
PD1

Organism	Homo sapiens
Synthesized region	36Thr-150Glu-(Hisx8)
Length	124 a.a.
Molecular weight	14,148 Da
N-term type	1 Met 2(36) Thr 3(37) Phe 4(38) Ser 5(39) Pro 6(40) Ala GC(%) 1-6 a.a.
GC	atg acc ttc tcc cgg gcg
Major	atg acc ttt tct cgg gcg
AT	atg act ttt tca cca gct



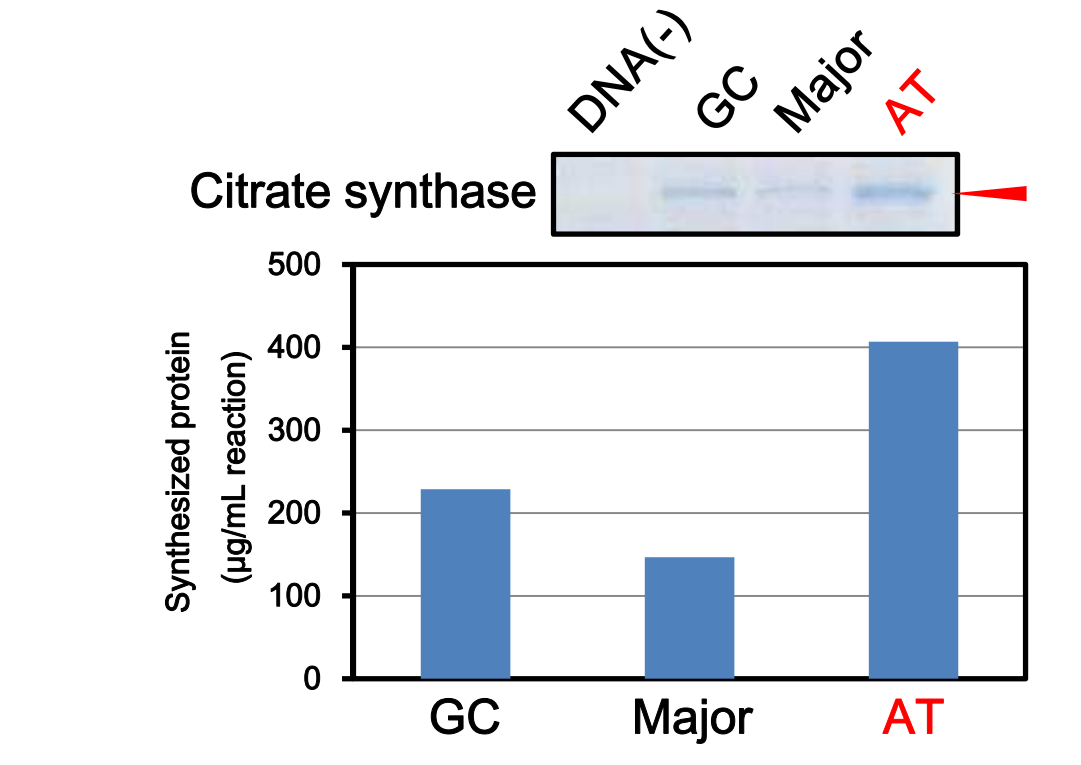
PDL1

Organism	Homo sapiens
Synthesized region	18Ala-239Thr-(Hisx8)
Length	231 a.a.
Molecular weight	26,593 Da
N-term type	1 Met 2(18) Ala 3(19) Phe 4(20) Thr 5(21) Val 6(22) Thr GC(%) 1-6 a.a.
GC	atg gcg ttc acc gtg acc
major	atg gcg ttt acc gtg acc
AT	atg gct ttt act gta aca



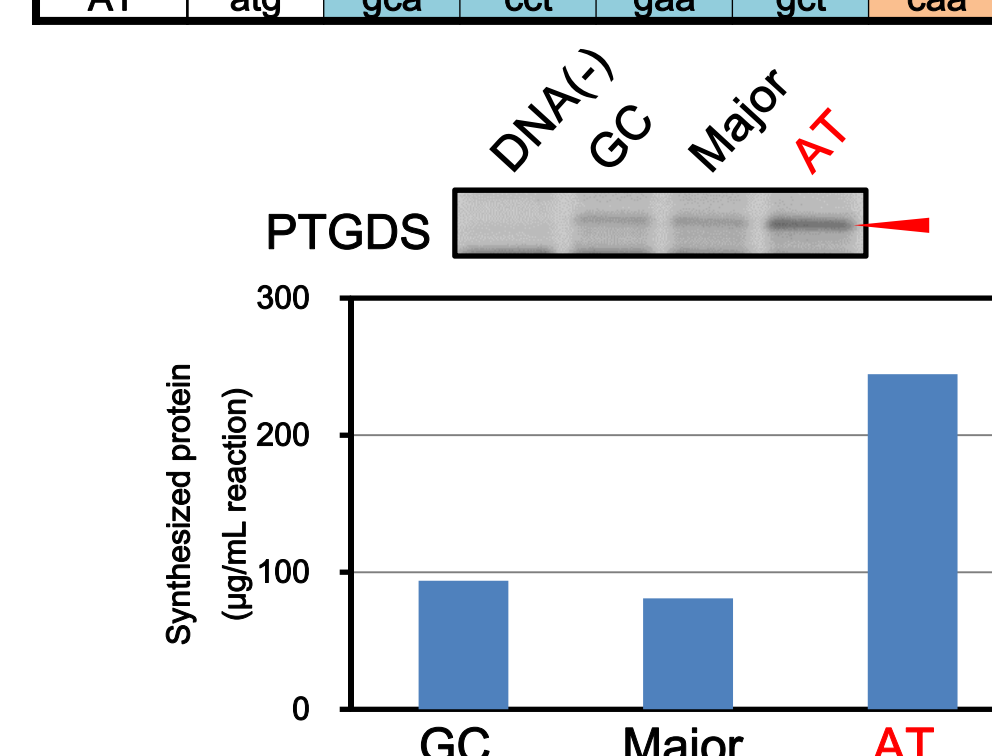
Citrate Synthase

Organism	<i>Saccharomyces cerevisiae</i>
Synthesized region	38Ser-479Asn
Length	443 a.a.
Molecular weight	49,346 Da
N-term type	1 Met 2(38) Ser 3(39) Ala 4(40) Ser 5(41) Glu 6(42) 1-6 a.a.
GC	atg tcc gcg tcc gag
major	atg tct gcg tct gaa
AT	atg tca gct tca gaa



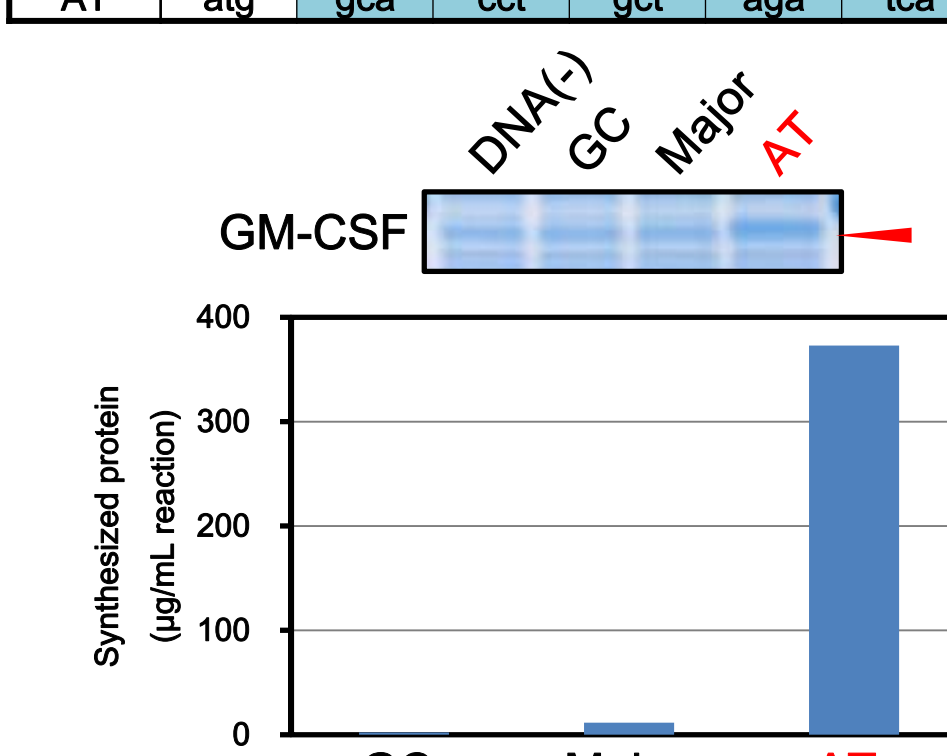
PTGDS

Organism	Homo sapiens
Synthesized region	23Ala-190Gln
Length	169 a.a.
Molecular weight	18,829 Da
N-term type	1 Met 2(23) Ala 3(24) Pro 4(25) Glu 5(26) Ala 6(27) Gln 1-6 a.a.
GC	atg gca ccg gaa gca cag
major	atg gcg ccg gaa gca cag
AT	atg gca cct gaa gct caa



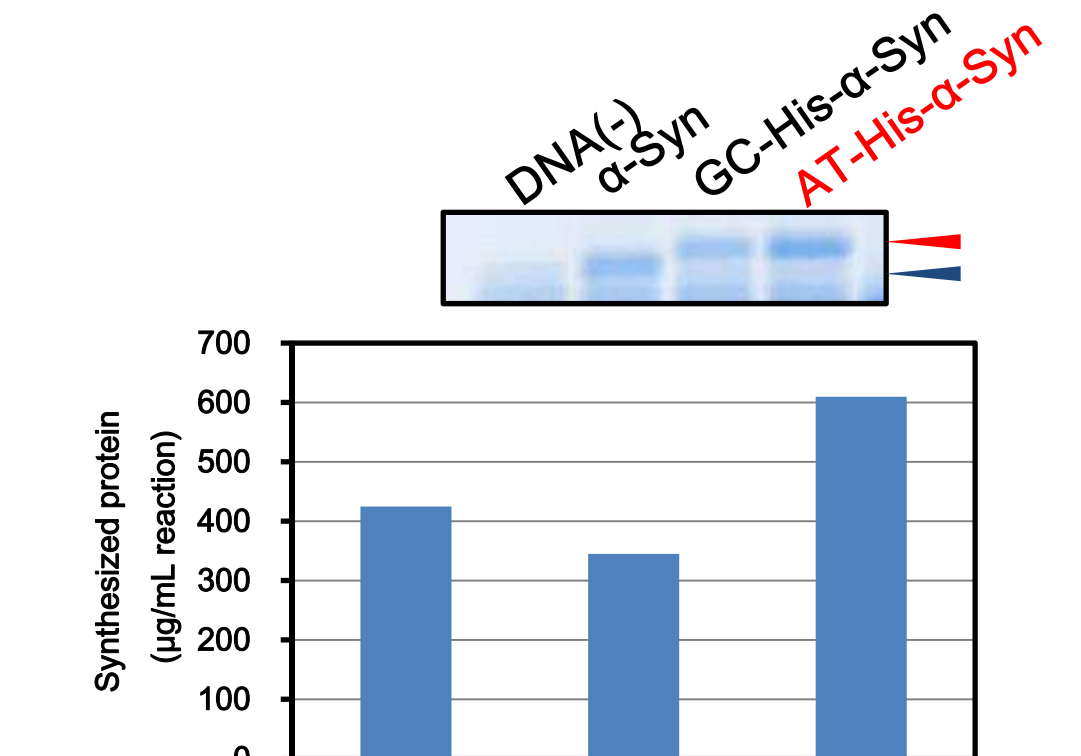
GM-CSF

Organism	Homo sapiens
Synthesized region	18Ala-144Glu
Length	128 a.a.
Molecular weight	14,608 Da
N-term type	1 Met 2(18) Ala 3(19) Pro 4(20) Ala 5(21) Arg 6(22) Ser 1-6 a.a.
GC	atg gcg ccg ggg tcc
major	atg gcg cct ggt tcc tct
AT	atg gca cgt aga tca



His- α -Synuclein

Organism	<i>Homo sapiens</i>
Synthesized region	(Hisx6)-(Gly-Ser)-2(10)Asp-140(148)Ala
Length	148 a.a.
Molecular weight	15,427 Da
Tag type	1 Met 2(1) His 3(2) His 4(3) His 5(4) His 6(5) His 7(6) Gly 8(7) Ser 9(8) 1-9 a.a.
GC	atg cac cac cac cac ggt tct
AT	atg cat cat cat cat gat gtc tct



AT-rich codon in N-terminal sequence facilitates the protein synthesis in various proteins.

5. Result 3: Application to Membrane protein synthesis

N-terminal codon optimization of membrane protein

CLDN1

Organism	<i>Homo sapiens</i>
Synthesized region	2Ala-211Val
Length	211 a.a.
Molecular weight	22,744 Da
N-term type	1 Met 2(2) Ala 3(3) Asn 4(4) Ala 5(5) Gly 6(6) Leu 1-6 a.a.
GC	atg gca aac gca ggc ctg
major(GC)	atg gca aat gca gca gga tta
AT	atg gtc aat gtc gtc gtc tta

